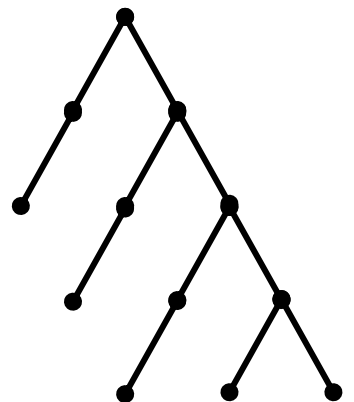


The number of spanning trees

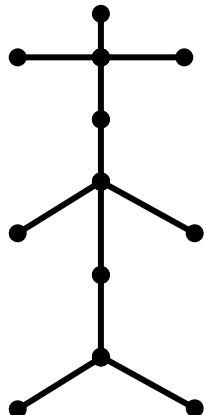
longhuan@sjtu.edu.cn

树的刻画

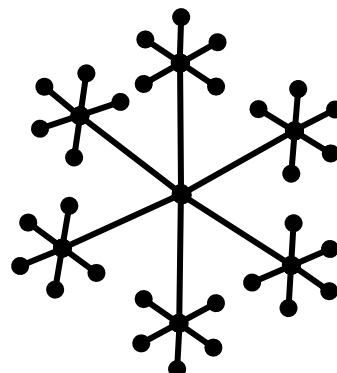
- 树(Tree): 连通无环图。
- 树的例子:



T_1

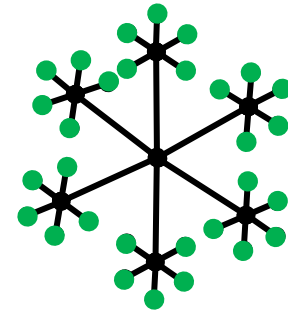


T_2

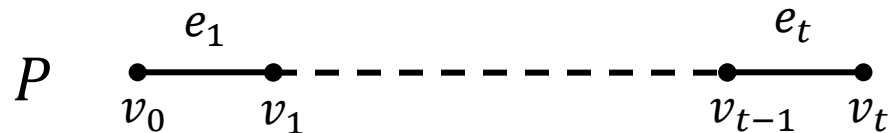


T_3

叶子(leaf)



- 叶子(leaf): 图 G 中度数为1的顶点被称为叶子或终点(end-vertex)。
- 引理: 对任意树 T , 如果 $|T| \geq 2$, 则 T 必含有至少两个终点。
- 证明: 取 T 中的一条极长路径 P



$$\deg_T(v_0) = \deg_T(v_t) = 1$$

树的基本性质

- 树生长引理(Tree-growing lemma): 对图 G 及图 G 上的叶子结点 v 而言, 如下命题等价
 - I. 图 G 是树。
 - II. 图 $G - v$ 是树。
- 证明:

树生长引理的意义: 在归纳证明中的应用。

树的等价刻画

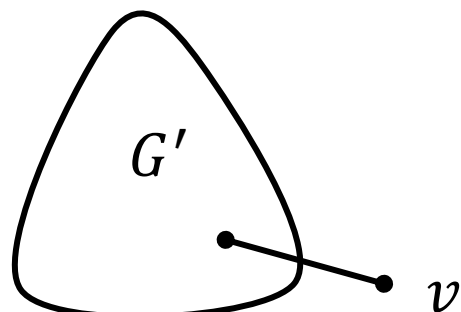
- 对图 $G = (V, E)$ 而言，以下陈述等价
 - I. 图 G 是树。
 - II. 路径唯一：对任意两点 $u, v \in V$ ，存在从 u 到 v 的唯一路径。
 - III. 最小连通图： G 是连通图，且去掉任意一条边后都成为非连通图。
 - IV. 最大无环图： G 不含环，但增加任何一条边所得到的图 $G + e$ （其中 $e \in \binom{V}{2} \setminus E$ ）中含有一个环。
 - V. Euler 方程： G 是连通图，且 $|V| = |E| + 1$ 。

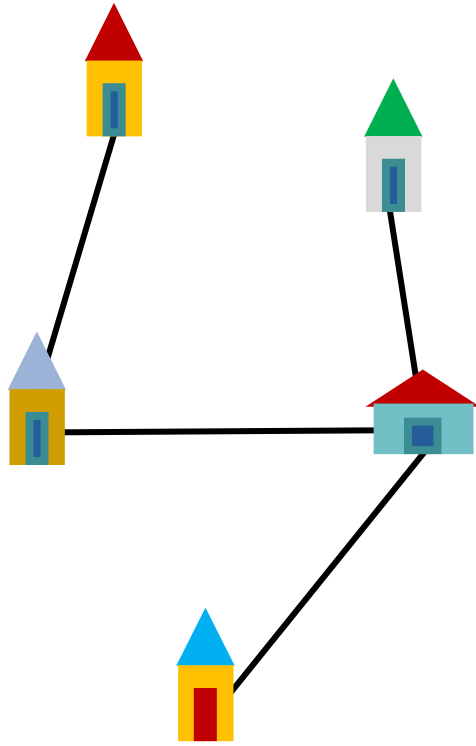
树的等价刻画

- 对图 $G = (V, E)$ 而言，以下陈述等价
 - I. 图 G 是树。
 - II. 路径唯一：对任意两点 $u, v \in V$ ，存在从 u 到 v 的唯一路径。
 - III. 最小连通图： G 是连通图，且去掉任意一条边后都成为非连通图。
 - IV. 最大无环图： G 不含环，但增加任何一条边所得到的图 $G + e$ （其中 $e \in \binom{V}{2} \setminus E$ ）中含有一个环。
 - V. Euler 方程： G 是连通图，且 $|V| = |E| + 1$ 。

树的等价刻画

- 对图 $G = (V, E)$ 而言，以下陈述等价
 - I. 图 G 是树。
 - V. Euler 方程： G 是连通图，且 $|V| = |E| + 1$ 。
- 证明：(I. \Leftrightarrow V.)
 - 充分性：归纳法（用树生长引理，对顶点个数做归纳）。
 - 必要性：（归纳法）考虑连通图 G 满足 $|V| = |E| + 1 \geq 2$ 。
 - 由握手定理，图 G 中顶点度数之和为 $2|V| - 2$ 。故图 G 中必存在度数小于 2 的顶点，且图 G 是连通图，任何点度数非 0，故存在度数为 1 的点，设为 v 。
 - 考虑 $G' = G - v$ 。易验证归纳假设条件成立，根据归纳假设 G' 是树。
 - 显然， G' 是树蕴含 G 是树。

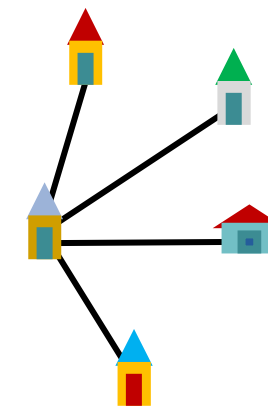
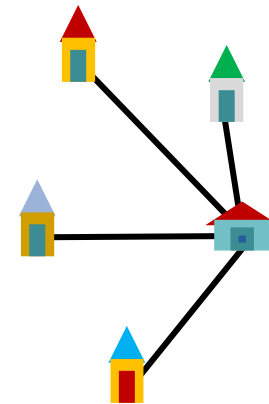
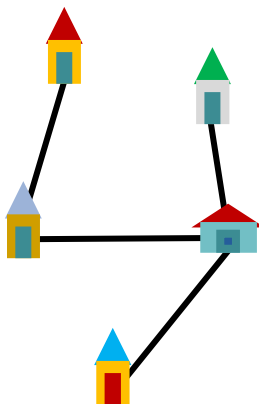




- **问题:** 某小镇一共有 n 座房子，某天小镇上的人计划在房子下面修建紧急逃生地道，使得所有房子从地下最后是连通的，同时出于安全考虑地道图中不允许有环。问有多少种挖掘地道的方案？

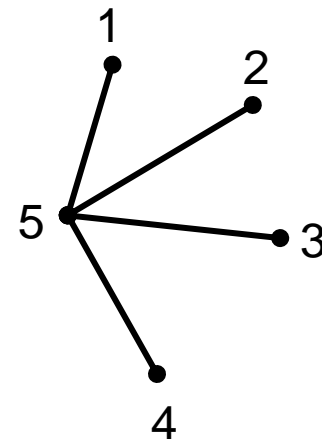
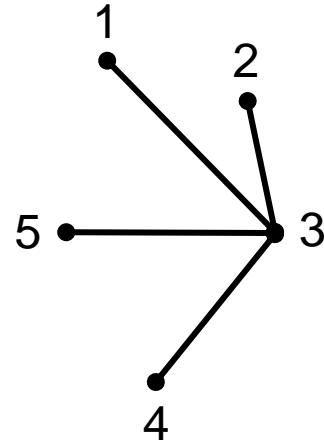
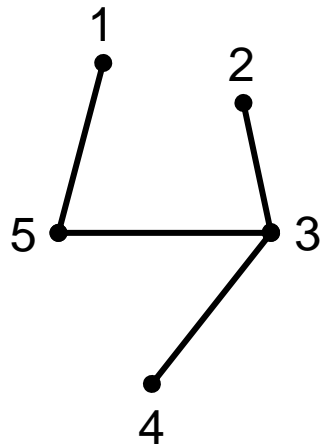
树的计数

- 问题抽象： n 个不同顶点所能构成的树的个数。



树的计数

- 问题抽象： n 个不同顶点所能构成的树的个数。
- 两棵树 T, T' 是“相等”的当且仅当树 T 的边集与树 T' 的边集相等。



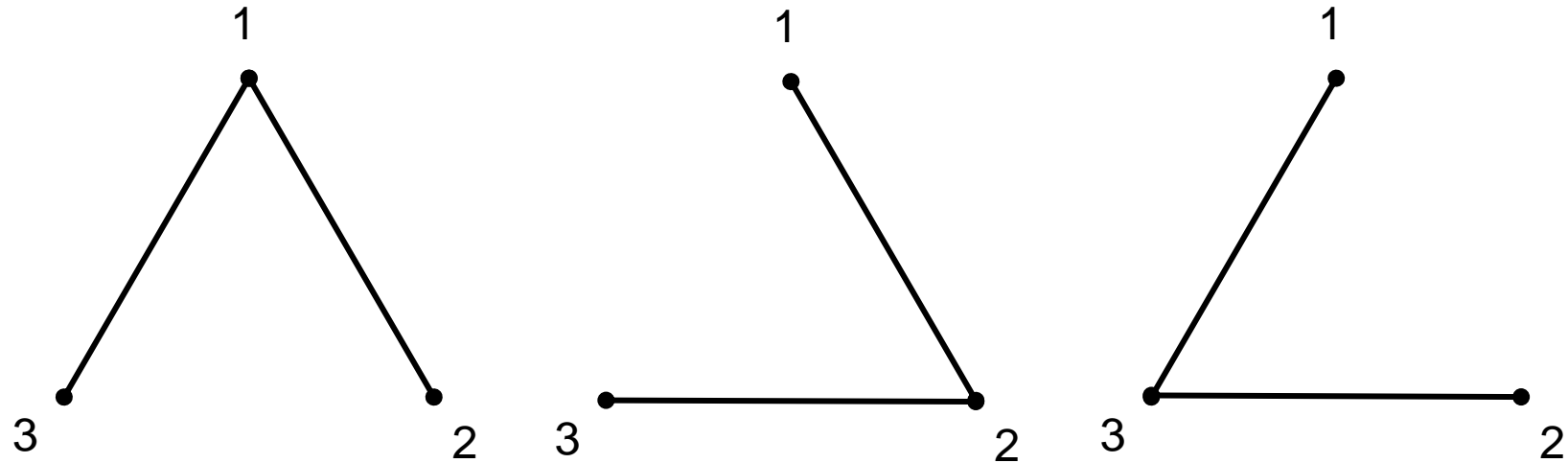
生成树

- **生成树(Spanning tree)**: 对连通图 $G = (V, E)$ ，生成树是包含 G 的所有顶点且为树的子图。
- 上述问题最终抽象为：设 $V = \{1, 2, \dots, n\}$, $n \geq 2$, 问 K_n 的生成树一共有多少种？

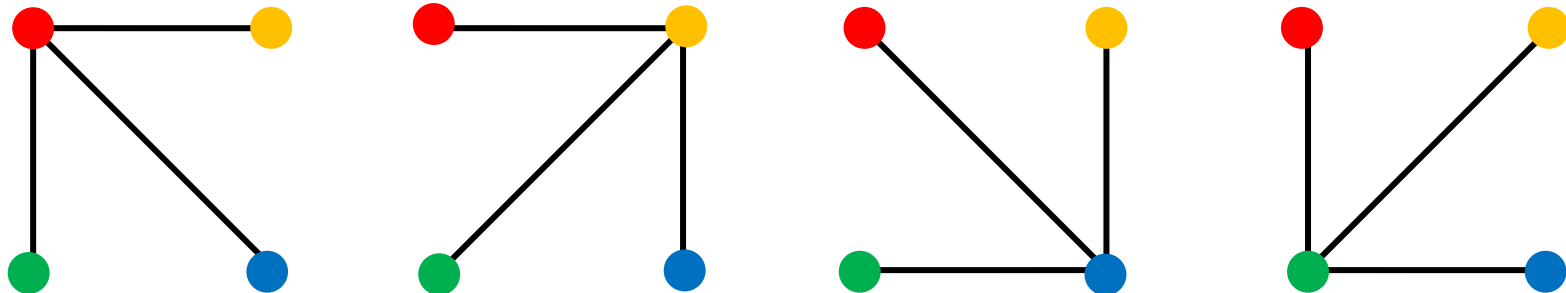
- $n = 2$: 1种



- $n = 3$: 3种



- $n = 4$: ?种
- 星形: 4种

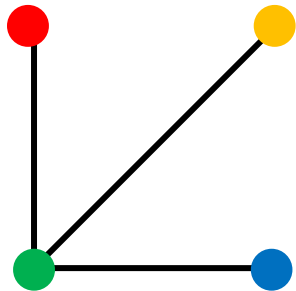
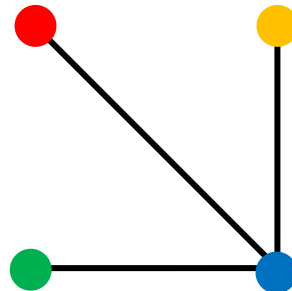
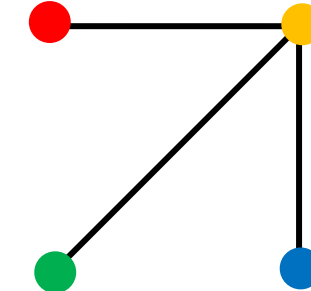
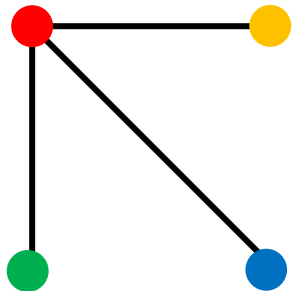


- 路径: $\frac{4!}{2} = 12$ 种



- $n = 4$: 16 种

- 星形: 4 种

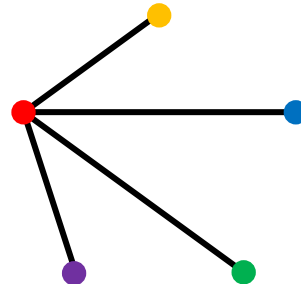


- 路径: $\frac{4!}{2} = 12$ 种

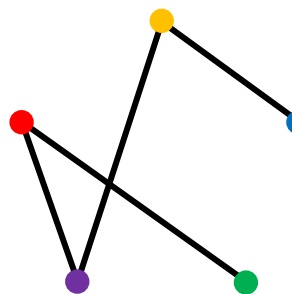


- $n = 5$: ? 种

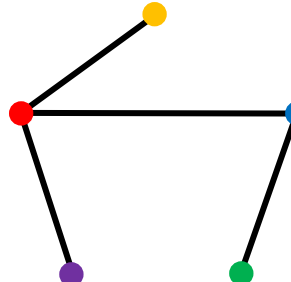
- 星形: 5 种



- 路径: $\frac{5!}{2} = 60$ 种

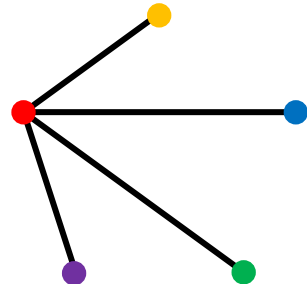


- T形: 5 · 4 · 3 = 60 种

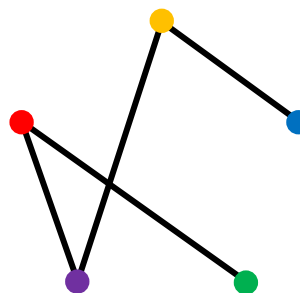


- $n = 5$: 125 种

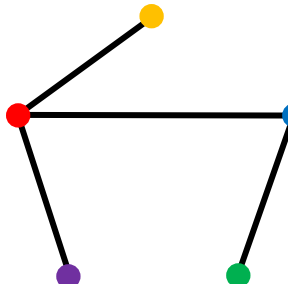
- 星形: 5 种



- 路径: $\frac{5!}{2} = 60$ 种

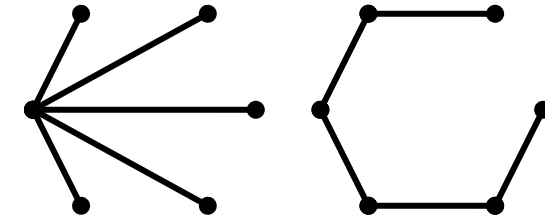


- T形: 5 · 4 · 3 = 60 种



- $n = 6$: ?种

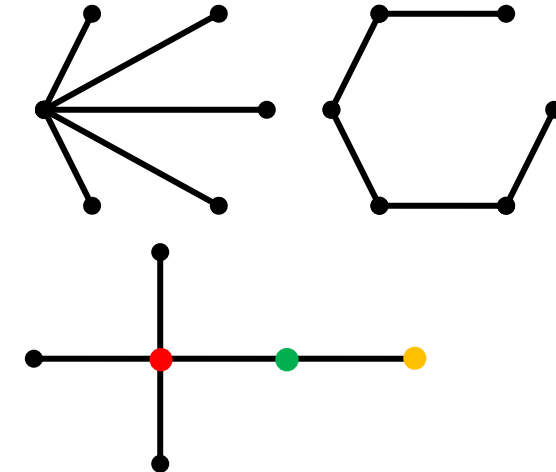
- $n = 6$: ?种
 - 星形: 6种, 路径: $\frac{6!}{2} = 360$ 种



- $n = 6$: ? 种

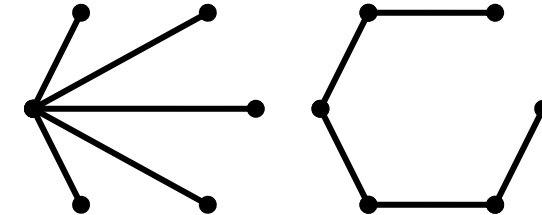
- 星形: 6 种, 路径: $\frac{6!}{2} = 360$ 种

- 十字架形: $6 \times 5 \times 4 = 120$ 种

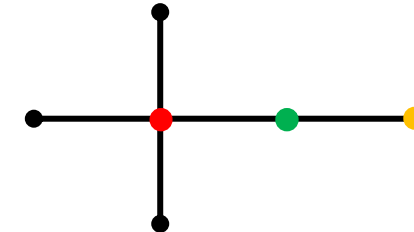


- $n = 6$: ? 种

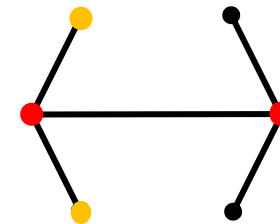
- 星形: 6 种, 路径: $\frac{6!}{2} = 360$ 种



- 十字架形: $6 \times 5 \times 4 = 120$ 种

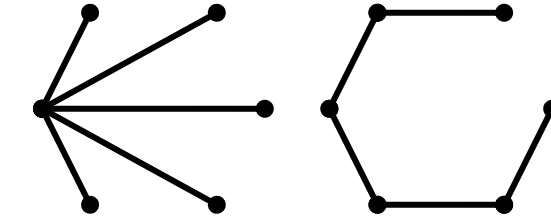


- 双箭头形: $\binom{6}{2} \times \binom{4}{2} = 90$ 种

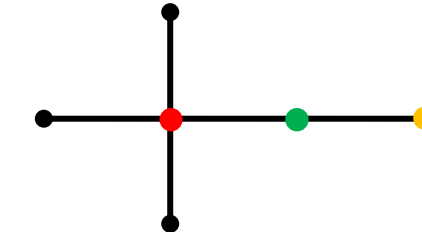


- $n = 6$: ?种

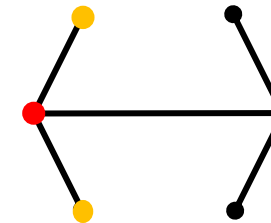
- 星形: 6种, 路径: $\frac{6!}{2} = 360$ 种



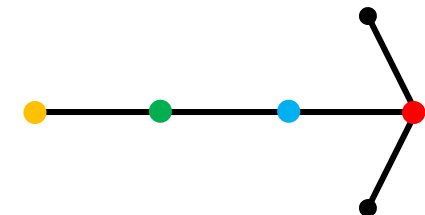
- 十字架形: $6 \times 5 \times 4 = 120$ 种



- 双箭头形: $\binom{6}{2} \times \binom{4}{2} = 90$ 种

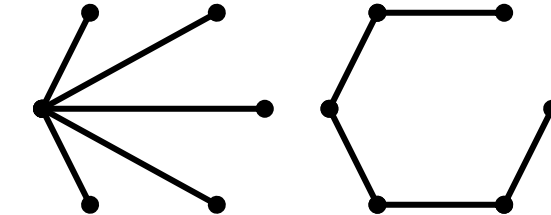


- 单箭头形: $6 \times 5 \times 4 \times 3 = 360$ 种

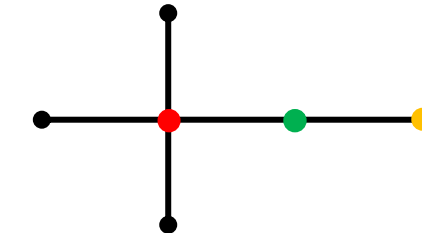


- $n = 6$: ?种

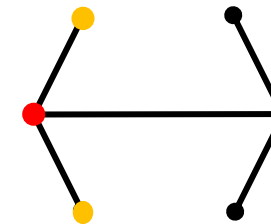
- 星形: 6种, 路径: $\frac{6!}{2} = 360$ 种



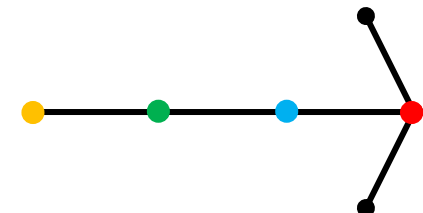
- 十字架形: $6 \times 5 \times 4 = 120$ 种



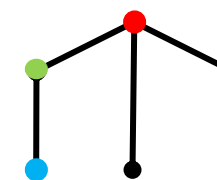
- 双箭头形: $\binom{6}{2} \times \binom{4}{2} = 90$ 种



- 单箭头形: $6 \times 5 \times 4 \times 3 = 360$ 种

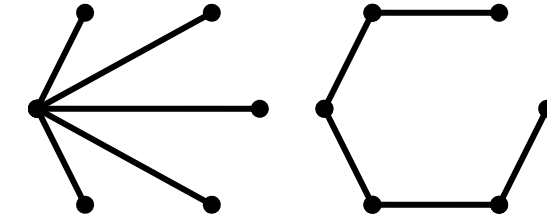


- 雨棚形: $\frac{6 \times 5 \times 4 \times 3 \times 2}{2} = 360$ 种

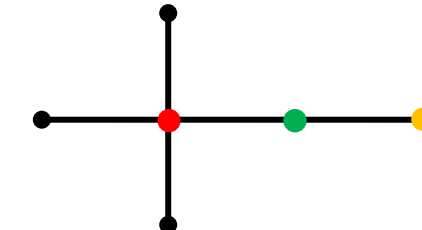


- $n = 6$: 1296 种

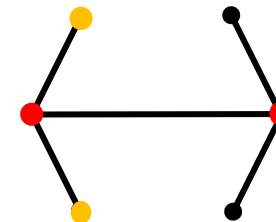
- 星形: 6 种, 路径: $\frac{6!}{2} = 360$ 种



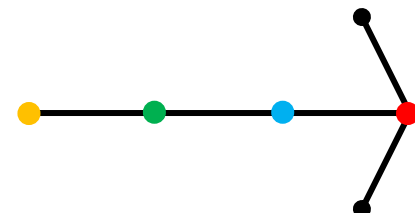
- 十字架形: $6 \times 5 \times 4 = 120$ 种



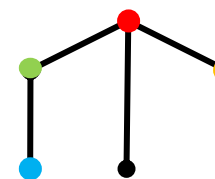
- 双箭头形: $\binom{6}{2} \times \binom{4}{2} = 90$ 种



- 单箭头形: $6 \times 5 \times 4 \times 3 = 360$ 种



- 雨棚形: $\frac{6 \times 5 \times 4 \times 3 \times 2}{2} = 360$ 种



含*n*个顶点的树

顶点个数	树的种数
1	1
2	1
3	3
4	16
5	125
6	1296

含 n 个顶点的树

顶点个数	树的种数
1	$1 = 1^{-1}$
2	$1 = 2^0$
3	$3 = 3^1$
4	$16 = 4^2$
5	$125 = 5^3$
6	$1296 = 6^4$

- Caley 定理(Caley's formula): n 个顶点能构成的不同树一共有 n^{n-2} 种。

A proof via score

Proposition. Let d_1, d_2, \dots, d_n be positive integers summing up to $2n - 2$. Then the number of spanning trees of the graph K_n in which the vertex i has degree exactly d_i for all $i = 1, 2, \dots, n$ equals

$$\frac{(n-2)!}{(d_1-1)!(d_2-1)!\cdots(d_n-1)!}.$$

Proof. (By induction on n) T : the set of STs of K_n with given degrees.

- $n = 1, 2$, the proposition holds trivially.
- $n > 2$: there must exist an i with $d_i = 1$. w.l.o.g. $d_n = 1$.
- For $1 \leq i \leq n-1$, $T_i \subseteq T$, where T_i is the STs with $\{i, n\} \in E$
- Delete v_n from each tree in T_i to get T'_i : STs of K_{n-1} with degrees $d_1, d_2, \dots, d_{i-1}, \textcolor{red}{d_i - 1}, d_{i+1}, \dots, d_{n-1}$.

A proof via score

Proposition. Let d_1, d_2, \dots, d_n be positive integers summing up to $2n - 2$. Then the number of spanning trees of the graph K_n in which the vertex i has degree exactly d_i for all $i = 1, 2, \dots, n$ equals

$$\frac{(n-2)!}{(d_1-1)!(d_2-1)!\cdots(d_n-1)!}.$$

Proof. (Continue)

- $|T_i| = |T'_i| = \frac{(n-3)!}{(d_1-1)!\cdots(d_{i-1}-1)!(\textcolor{red}{d_i-2})!(d_{i+1}-1)!\cdots(d_{n-1}-1)!}$
 $= \frac{(n-3)!(d_i-1)}{(d_1-1)!(d_2-1)!\cdots(d_{n-1}-1)!}$

$$|T| = \sum_{i=1}^n |T_i| = \sum_{i=1}^{n-1} \frac{(n-3)!(d_i-1)}{(d_1-1)!(d_2-1)!\cdots(d_{n-1}-1)!} = \cdots$$

A proof via score

Proposition. Let d_1, d_2, \dots, d_n be positive integers summing up to $2n - 2$. Then the number of spanning trees of the graph K_n in which the vertex i has degree exactly d_i for all $i = 1, 2, \dots, n$ equals

$$\frac{(n-2)!}{(d_1-1)!(d_2-1)!\cdots(d_n-1)!}.$$

Finally

$$\begin{aligned}|T(K_n)| &= \sum_{\substack{d_1, d_2, \dots, d_n \geq 1 \\ d_1 + d_2 + \dots + d_n = 2n-2}} \frac{(n-2)!}{(d_1-1)!(d_2-1)!\cdots(d_n-1)!} \\&= \sum_{\substack{k_1 + k_2 + \dots + k_n = n-2 \\ k_1, \dots, k_n \geq 0}} \frac{(n-2)!}{k_1! k_2! \cdots k_n!} \\&= \underbrace{(1+1+\cdots+1)^{n-2}}_{\text{underbrace}} = \textcolor{red}{n^{n-2}}.\end{aligned}$$

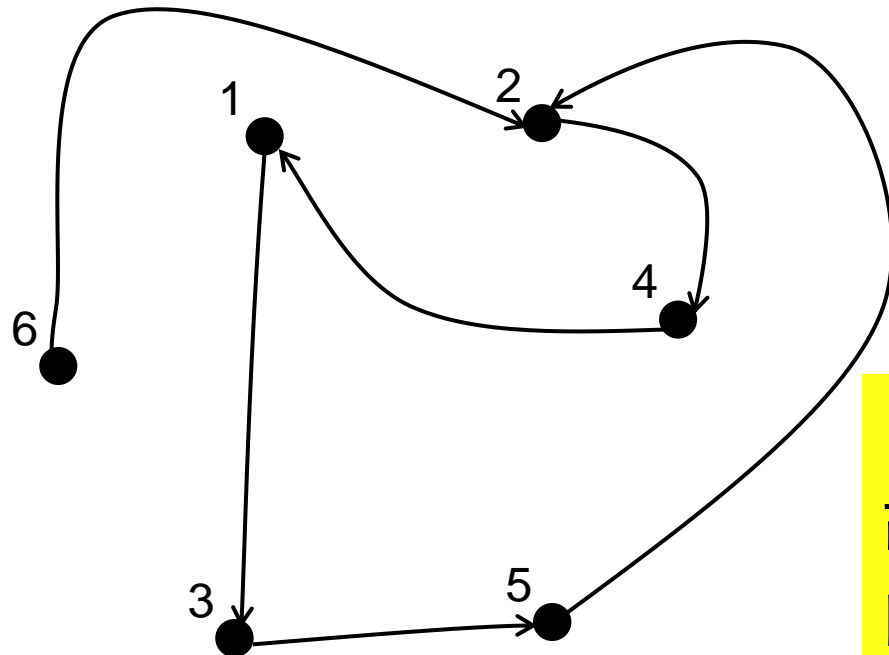
A proof with Vertebrates



有限域上的函数与函数图

- Function graph
 $f: V \rightarrow V$

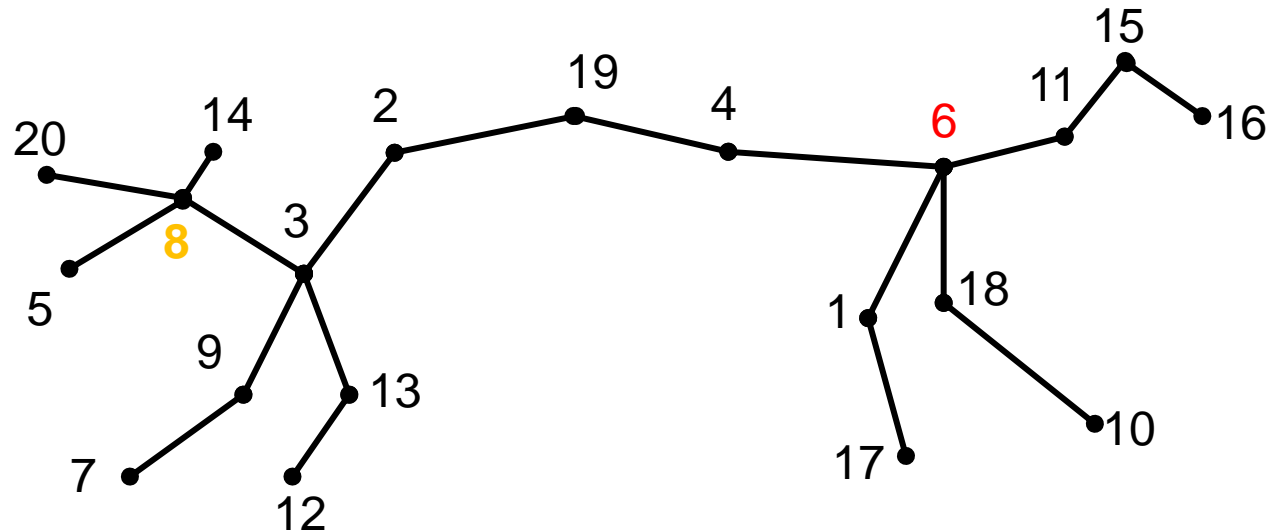
v	1	2	3	4	5	6
$f(v)$	3	4	5	1	2	2

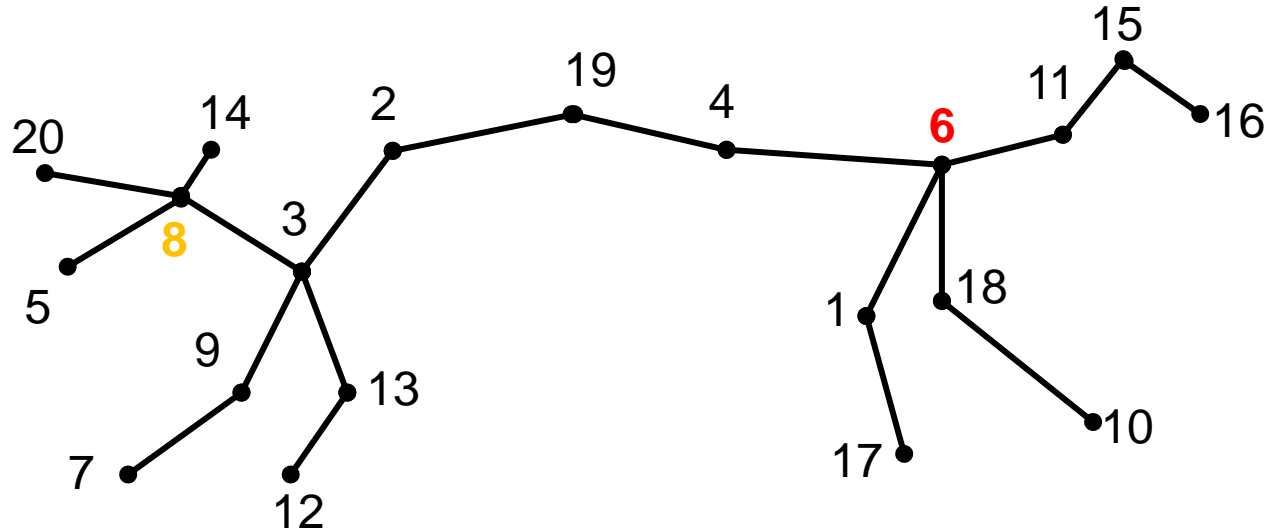


函数图与函数一一对应。
故 $|V| = n$ 时共有 n^n 种不同的函数图。

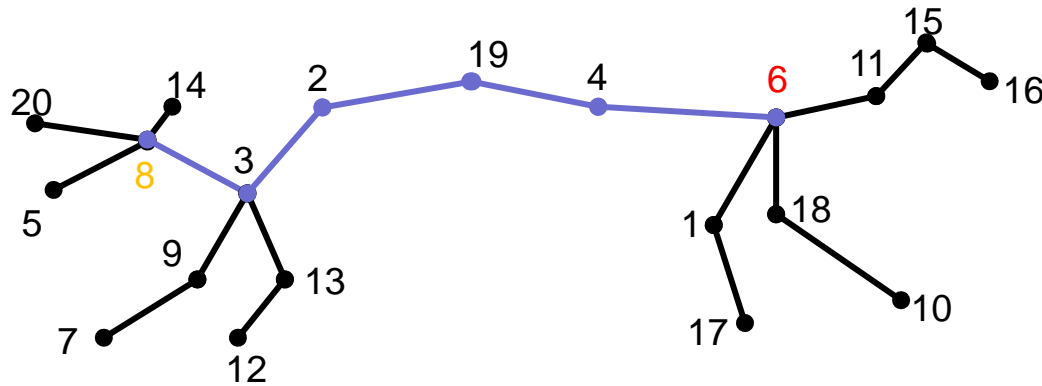
脊椎动物(Vertebrate)骨骼标本

- **骨骼标本**: 三元组 (T, h, b) 被称为骨骼标本
若其中(1) T 是一棵树; (2) $h, b \in V$ 。 h 被称为颈椎骨, b 被称为尾椎骨。
- 注意: h, b 必须是树上的节点, 除此外没有
任何限制 (可重合)。

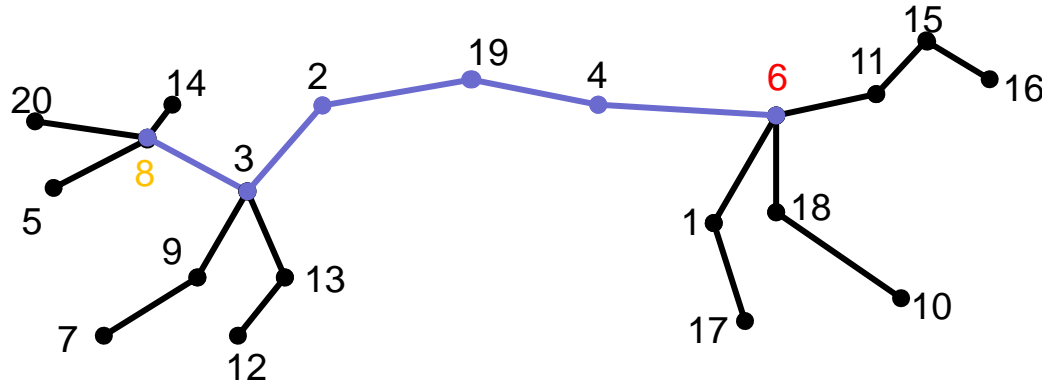




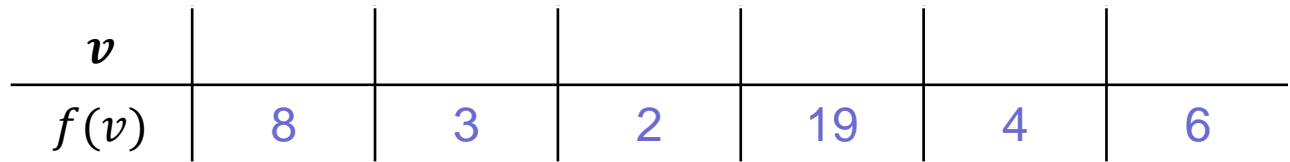
- ① 如果 $|V| = n$, 用 T_n 表示 V 上的树的所有可能棵数。
- ② 每一棵树 T 对应 n^2 种骨骼标本 (T, h, b) 。
- ③ 骨骼标本与 V 上的函数图一一对应。有 n^n 种。
- ④ 根据 ②③: $T_n = \frac{n^n}{n^2} = n^{n-2}$

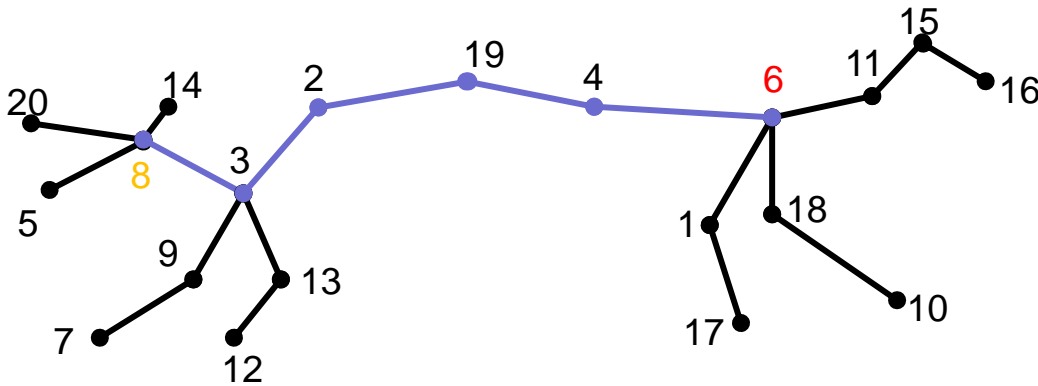


- **脊椎(Spine):** 出现在从颈椎骨到尾椎骨的路径上的点被称为脊椎。



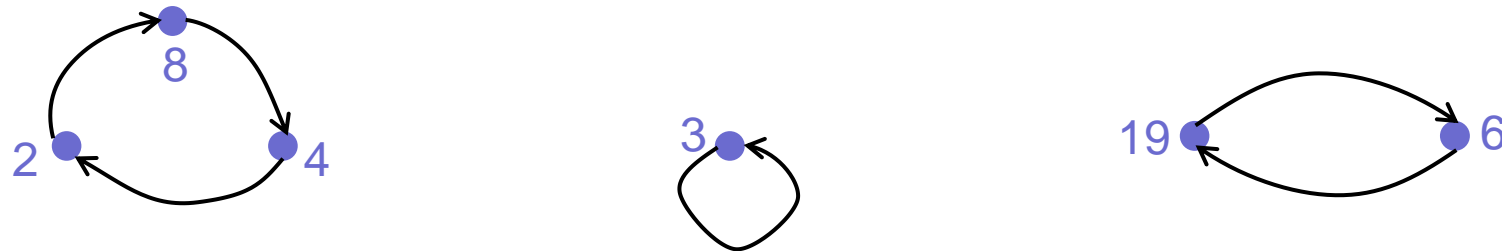
- **脊椎(Spine):** 出现在从颈椎骨到尾椎骨的路径上的点被称为脊椎。

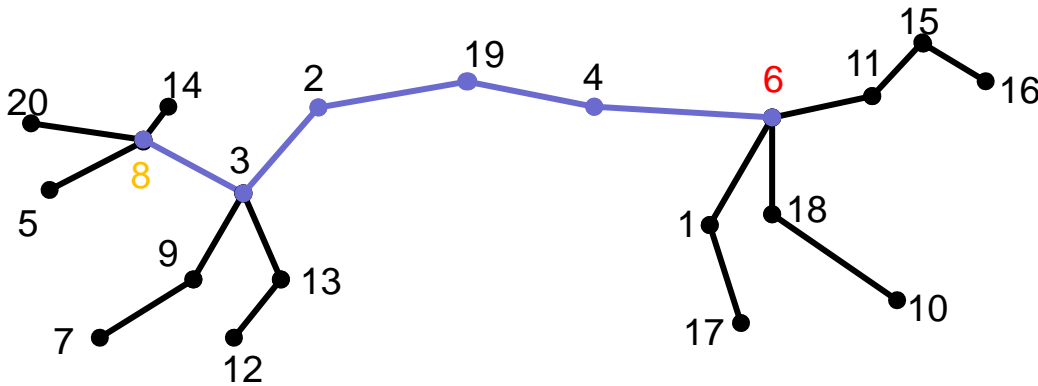




- **脊椎(Spine):** 出现在从颈椎骨到尾椎骨的路径上的点被称为脊椎。

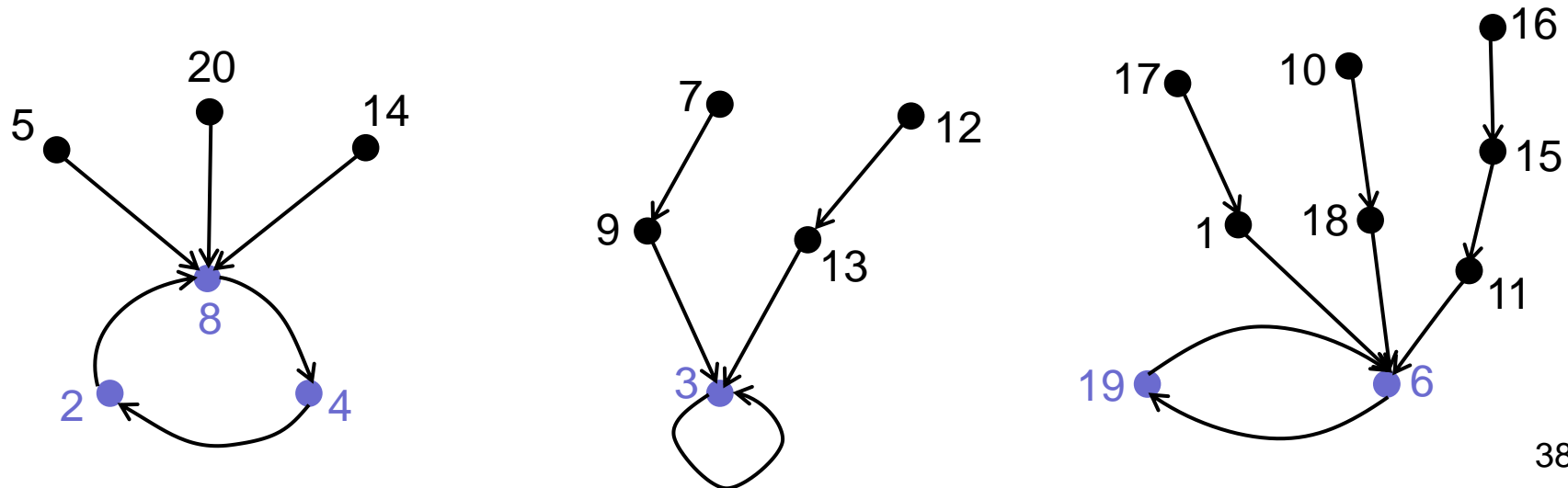
v	2	3	4	6	8	19
$f(v)$	8	3	2	19	4	6





- **脊椎(Spine):** 出现在从颈椎骨到尾椎骨的路径上的点被称为脊椎。

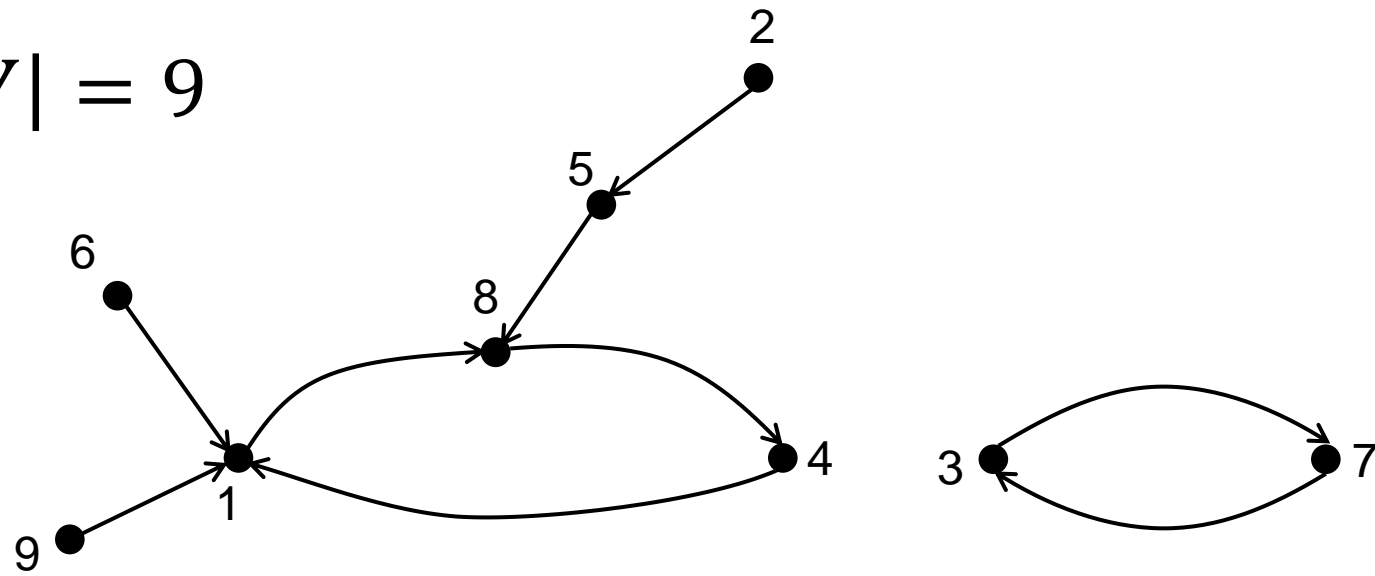
v	2	3	4	6	8	19
$f(v)$	8	3	2	19	4	6



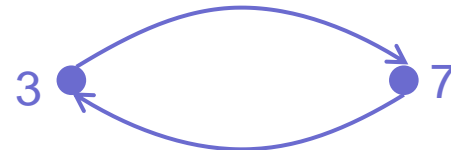
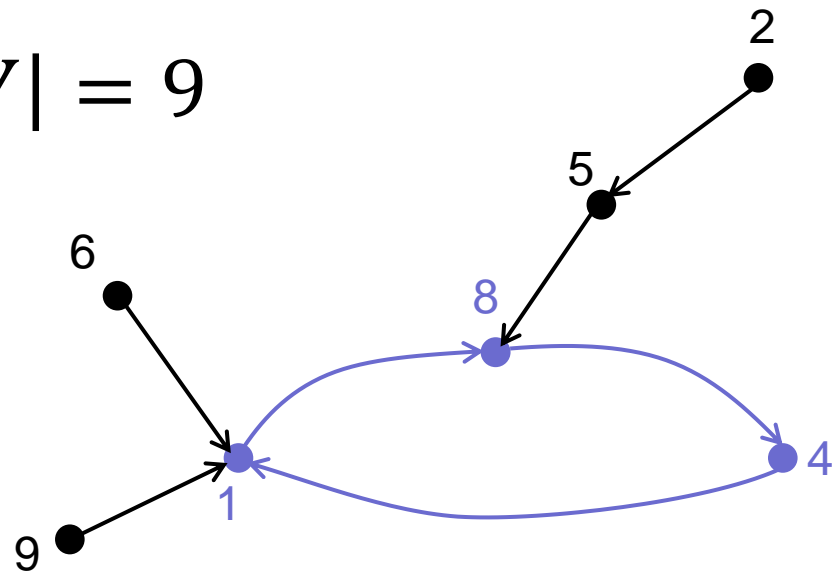
骨骼标本与 V 上的函数图一一对应

- V 上的骨骼标本 \longrightarrow 函数 $f: V \rightarrow V$
- 函数 $f: V \rightarrow V$ \longrightarrow V 上的骨骼标本

$$|V| = 9$$

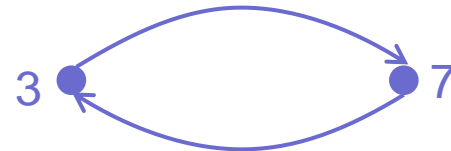
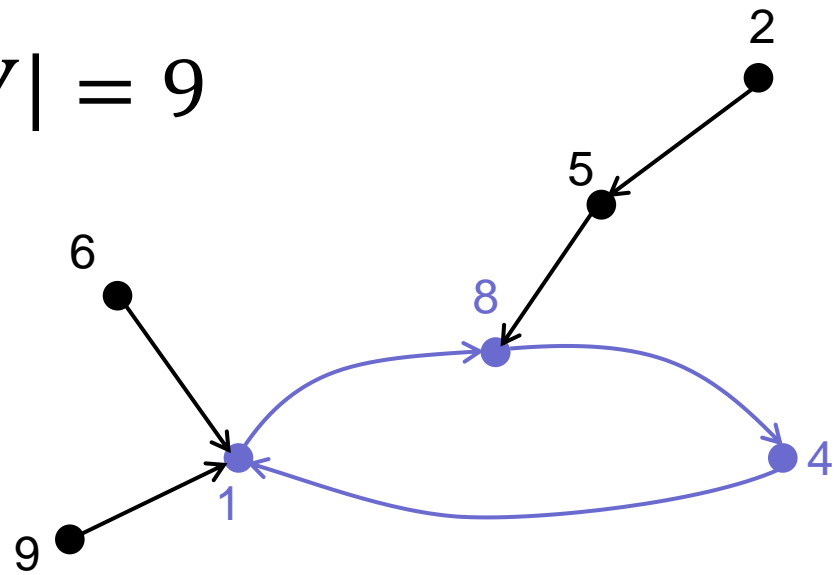


$$|V| = 9$$



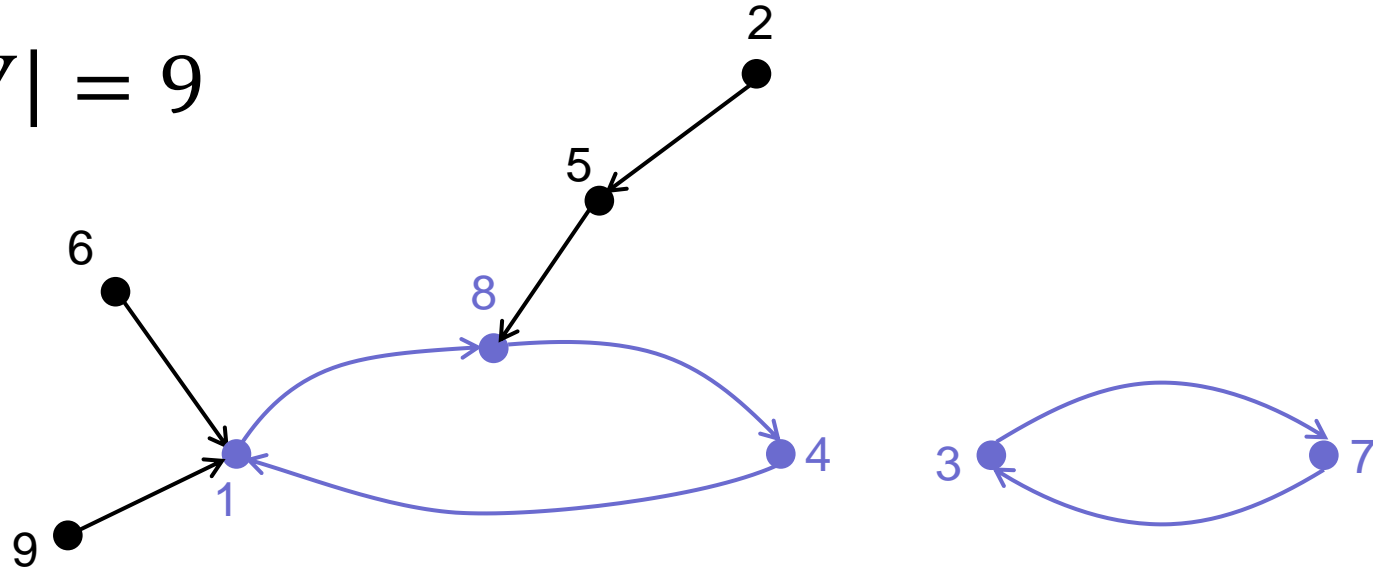
v	1	3	4	7	8
$f(v)$					

$$|V| = 9$$

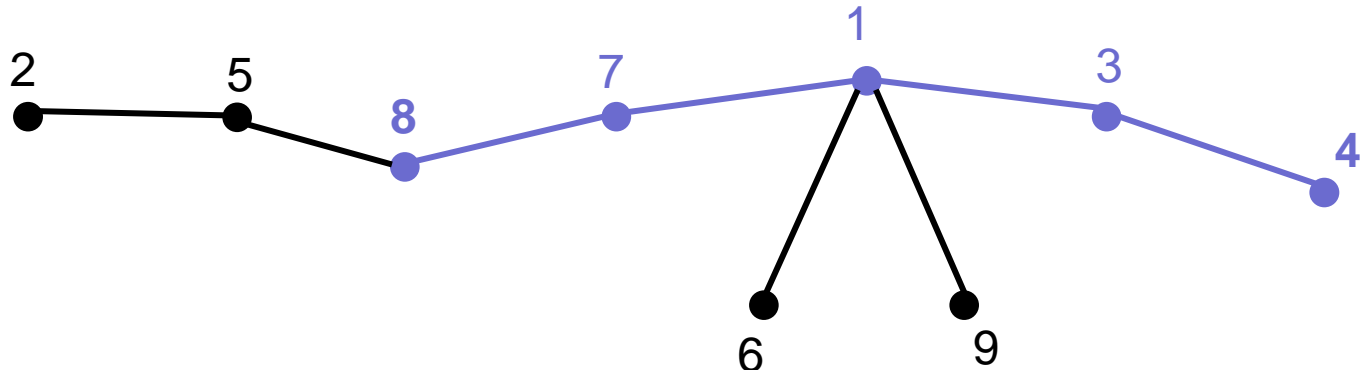


v	1	3	4	7	8
$f(v)$	8	7	1	3	4

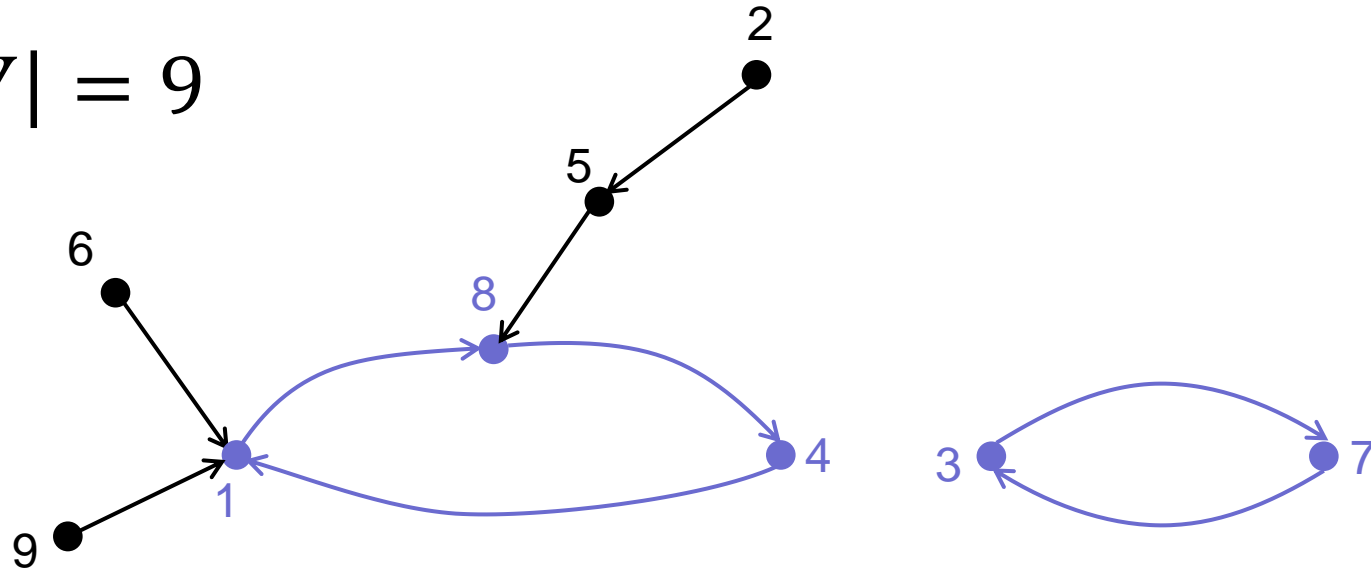
$$|V| = 9$$



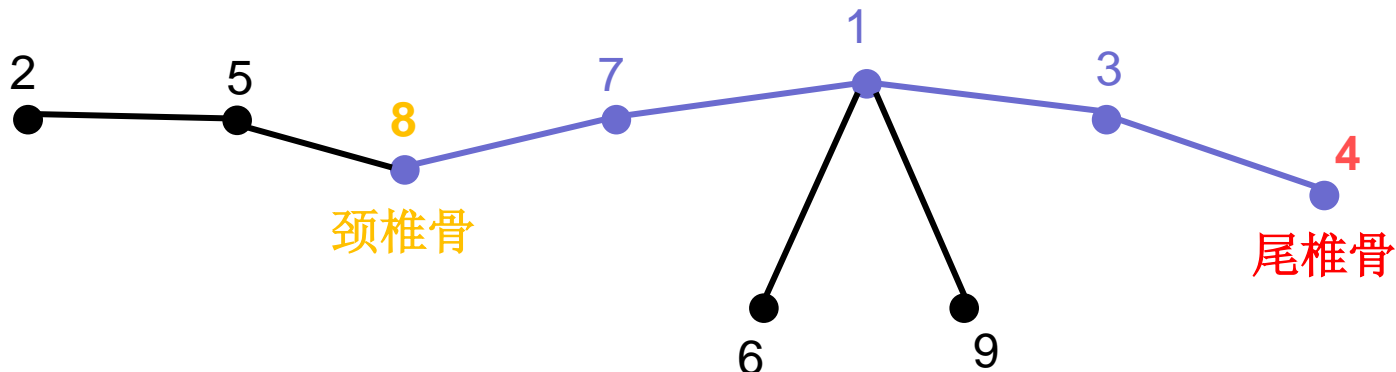
v	1	3	4	7	8
$f(v)$	8	7	1	3	4



$$|V| = 9$$

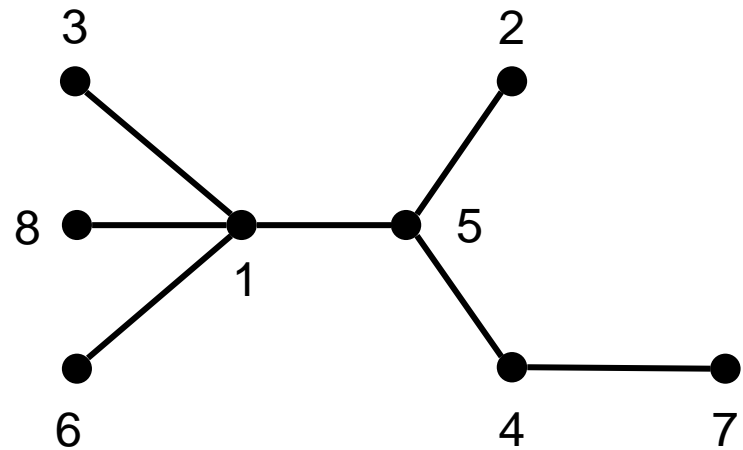


v	1	3	4	7	8
$f(v)$	8	7	1	3	4

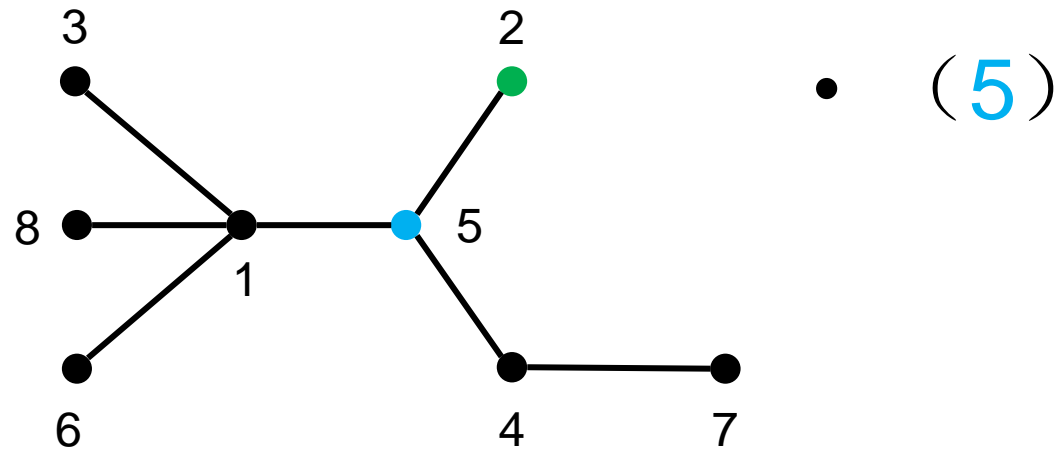


- ① 如果 $|V| = n$, 用 T_n 表示 V 上的树的所有可能棵数。
- ② 每一棵树 T 对应 n^2 种骨骼标本 $(T, \textcolor{blue}{h}, \textcolor{red}{b})$ 。
- ③ 骨骼标本与 V 上的函数图一一对应。故有 n^n 种。
- ④ 根据 ②③: $T_n = \frac{n^n}{n^2} = n^{n-2}$

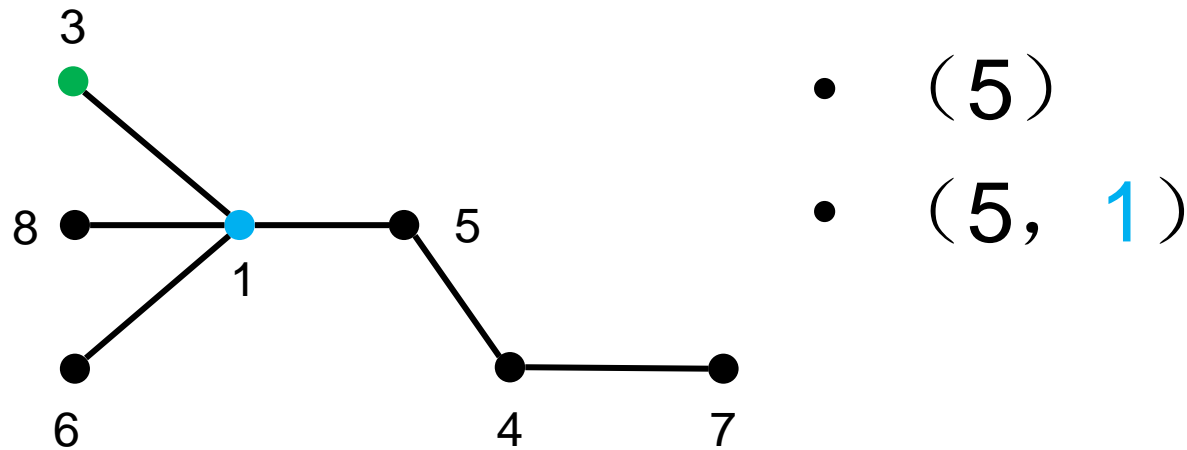
A Proof using the Prüfer code



A Proof using the Prüfer code

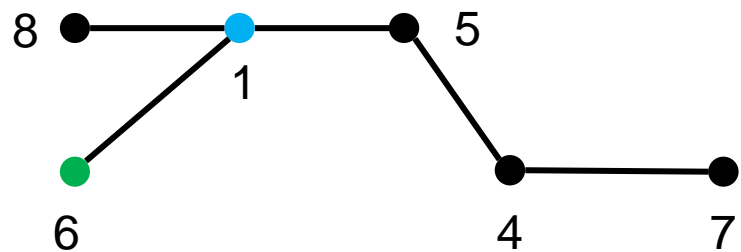


A Proof using the Prüfer code



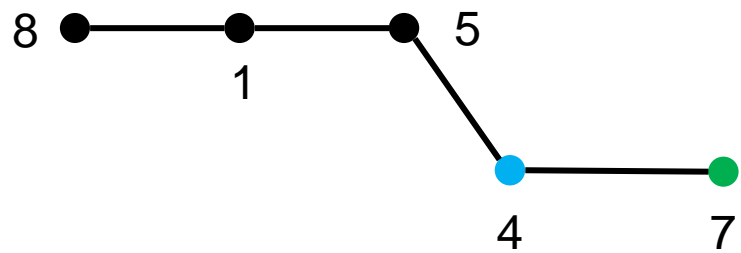
- (5)
- (5, 1)

A Proof using the Prüfer code



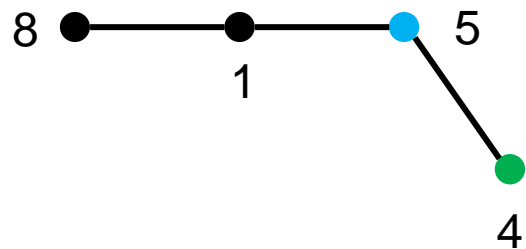
- (5)
- (5, 1)
- (5, 1, 1)

A Proof using the Prüfer code



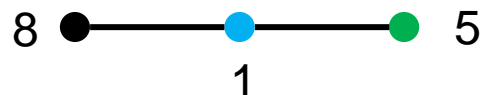
- (5)
- (5, 1)
- (5, 1, 1)
- (5, 1, 1, 4)

A Proof using the Prüfer code



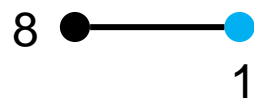
- (5)
- (5, 1)
- (5, 1, 1)
- (5, 1, 1, 4)
- (5, 1, 1, 4, 5)

A Proof using the Prüfer code



- (5)
- (5, 1)
- (5, 1, 1)
- (5, 1, 1, 4)
- (5, 1, 1, 4, 5)
- (5, 1, 1, 4, 5, 1)

A Proof using the Prüfer code

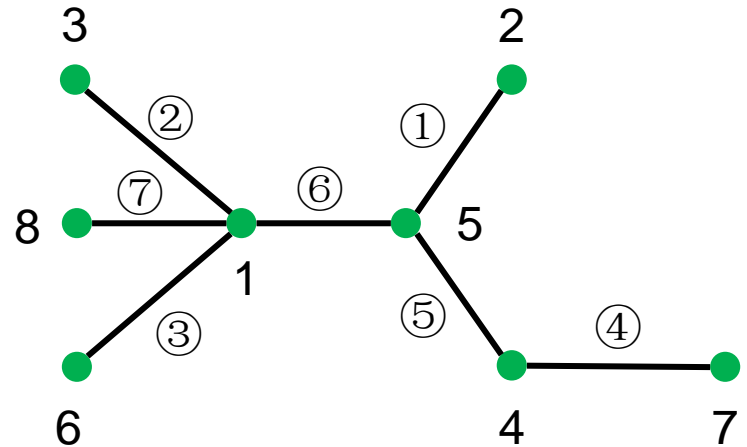


- (5)
- (5, 1)
- (5, 1, 1)
- (5, 1, 1, 4)
- (5, 1, 1, 4, 5)
- (5, 1, 1, 4, 5, 1)

- Prüfer code for a spanning tree T of K_n :
$$p = P(T) = (p_1, p_2, \dots, p_{n-2}).$$

A Proof using the Prüfer code

(5, 1, 1, 4, 5, 1)



- Prüfer code for a spanning tree T of K_n :
$$p = P(T) = (p_1, p_2, \dots, p_{n-2}).$$

A Proof using the Prüfer code

(5, 1, 1, 4, 5, 1)

- Prüfer code for a spanning tree T of K_n :
$$p = P(T) = (p_1, p_2, \dots, p_{n-2}).$$
- Mapping between Prüfer codes and spanning trees.

A Proof using the Prüfer code

(5, 1, 1, 4, 5, 1)

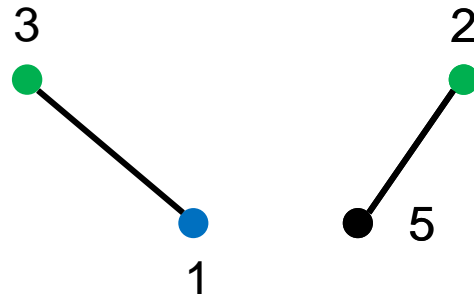
- $\min ([n] \setminus \{5, 1, 1, 4, 5, 1\}) = 2$



A Proof using the Prüfer code

(5, 1, 1, 4, 5, 1)

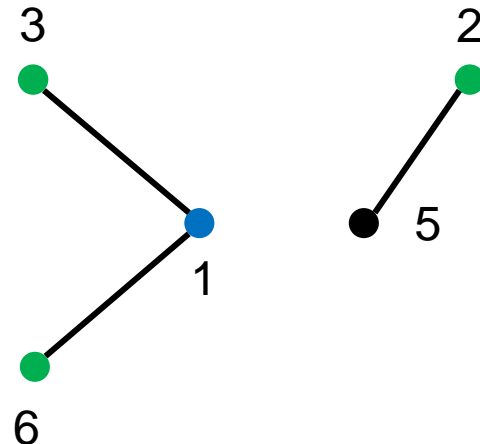
- $\min ([n] \setminus \{5, 1, 1, 4, 5, 1\}) = 2$
- $\min \left([n] \setminus \{1, 1, 4, 5, 1\} \setminus \{2\} \right) = 3$



A Proof using the Prüfer code

(5, 1, 1, 4, 5, 1)

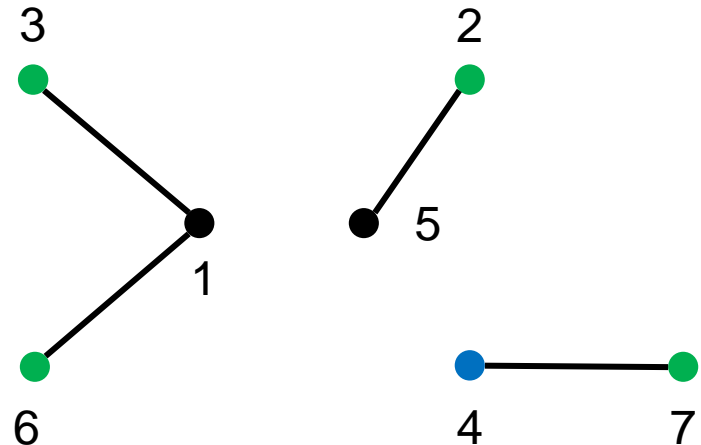
- $\min ([n] \setminus \{5, 1, 1, 4, 5, 1\}) = 2$
- $\min \left([n] \setminus \{1, 1, 4, 5, 1\} \setminus \{2\} \right) = 3$
- $\min \left([n] \setminus \{1, 4, 5, 1\} \setminus \{2, 3\} \right) = 6$



A Proof using the Prüfer code

(5, 1, 1, 4, 5, 1)

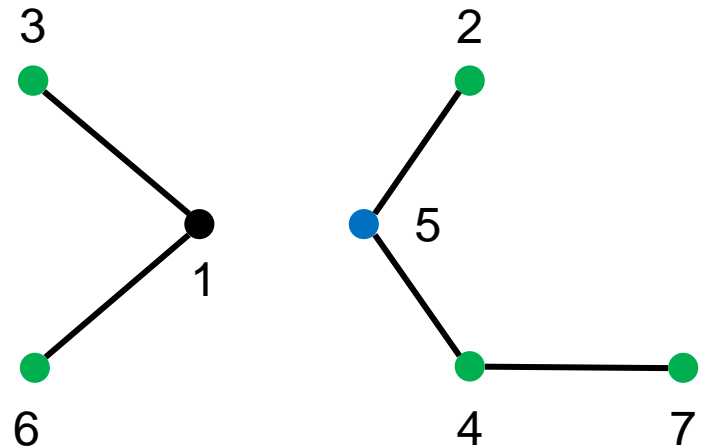
- $\min ([n] \setminus \{5,1,1,4,5,1\}) = 2$
- $\min \left([n] \setminus \{1,1,4,5,1\} \setminus \{2\} \right) = 3$
- $\min \left([n] \setminus \{1,4,5,1\} \setminus \{2,3\} \right) = 6$
- $\min \left([n] \setminus \{4,5,1\} \setminus \{2,3,6\} \right) = 7$



A Proof using the Prüfer code

(5, 1, 1, 4, 5, 1)

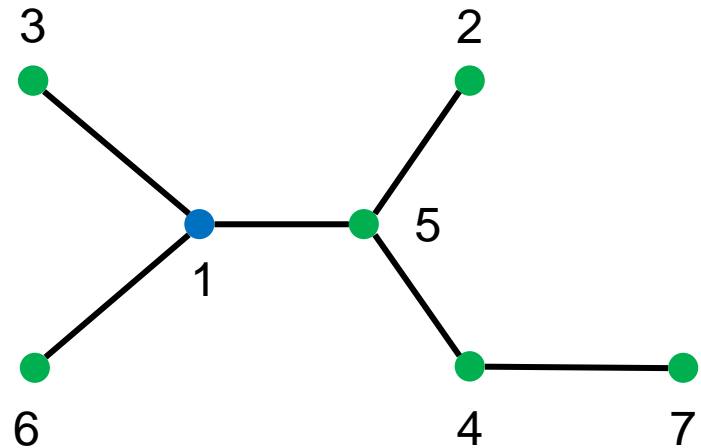
- $\min ([n] \setminus \{5,1,1,4,5,1\}) = 2$
- $\min \left([n] \setminus \{1,1,4,5,1\} \setminus \{2\} \right) = 3$
- $\min \left([n] \setminus \{1,4,5,1\} \setminus \{2,3\} \right) = 6$
- $\min \left([n] \setminus \{4,5,1\} \setminus \{2,3,6\} \right) = 7$
- $\min \left([n] \setminus \{5,1\} \setminus \{2,3,6,7\} \right) = 4$



A Proof using the Prüfer code

(5, 1, 1, 4, 5, 1)

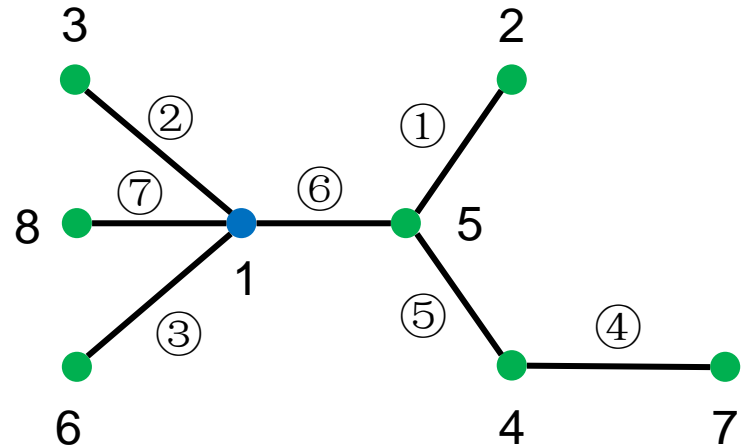
- $\min ([n] \setminus \{5,1,1,4,5,1\}) = 2$
- $\min \left([n] \setminus \{1,1,4,5,1\} \setminus \{2\} \right) = 3$
- $\min \left([n] \setminus \{1,4,5,1\} \setminus \{2,3\} \right) = 6$
- $\min \left([n] \setminus \{4,5,1\} \setminus \{2,3,6\} \right) = 7$
- $\min \left([n] \setminus \{5,1\} \setminus \{2,3,6,7\} \right) = 4$
- $\min \left([n] \setminus \{1\} \setminus \{2,3,6,7,4\} \right) = 5$



A Proof using the Prüfer code

(5, 1, 1, 4, 5, 1)

- $\min ([n] \setminus \{5,1,1,4,5,1\}) = 2$
- $\min \left([n] \setminus \{1,1,4,5,1\} \setminus \{2\} \right) = 3$
- $\min \left([n] \setminus \{1,4,5,1\} \setminus \{2,3\} \right) = 6$
- $\min \left([n] \setminus \{4,5,1\} \setminus \{2,3,6\} \right) = 7$
- $\min \left([n] \setminus \{5,1\} \setminus \{2,3,6,7\} \right) = 4$
- $\min \left([n] \setminus \{1\} \setminus \{2,3,6,7,4\} \right) = 5$
- $[n] - \{2,3,6,7,4,5,1\} = 8$



A Proof using the Prüfer code

- Prüfer code for a spanning tree T of K_n :
$$p = P(T) = (p_1, p_2, \dots, p_{n-2}).$$
- Bijection between Prüfer codes and spanning trees.

Proof working with determinants

$G = (V, E)$, where $V = \{1, 2, \dots, n\}$ $n \geq 2$,
 $E = \{e_1, e_2, \dots, e_m\}$

Define $n \times n$ matrix Q -- the *Laplace matrix* for G :

$$q_{ii} = \deg_G(i) \quad i = 1, 2, \dots, n$$

$$q_{ij} = \begin{cases} -1 & \{i, j\} \in E(G) \\ 0 & \text{otherwise} \end{cases} \quad i, j = 1, 2, \dots, n, i \neq j.$$

$$Q = \begin{bmatrix} \deg(1) & -1 & \cdots & 0 \\ -1 & \deg(2) & \cdots & \cdots \\ \vdots & \vdots & \vdots & \vdots \\ 0 & \cdots & \cdots & \deg(n) \end{bmatrix}_{n \times n}$$

Q_{ij} denote the $(n - 1) \times (n - 1)$ matrix arising from the matrix Q by deleting the i th row and j th column.

Theorem. For every graph G , $T(G) = \det Q_{11}$.

Application: $G = K_n$

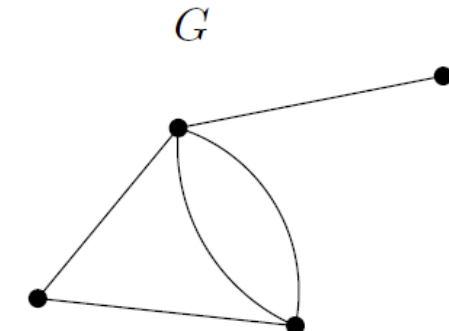
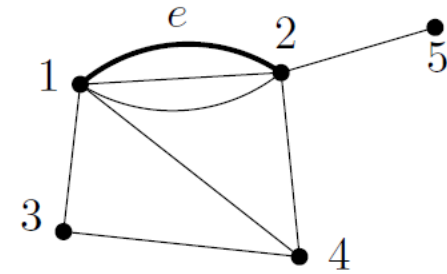
$$Q = \begin{bmatrix} n & 1 & -1 & \cdots & -1 \\ -1 & n-1 & \cdots & & -1 \\ \vdots & \vdots & \ddots & & \vdots \\ -1 & -1 & \cdots & n-1 \end{bmatrix}_{n \times n}$$

$$Q_{11} = \begin{bmatrix} n-1 & -1 & \cdots & -1 \\ -1 & n-1 & \cdots & -1 \\ \vdots & \vdots & \ddots & \vdots \\ -1 & -1 & \cdots & n-1 \end{bmatrix}_{(n-1) \times (n-1)}$$

$$\det(Q_{11}) = n^{n-2}$$

Theorem. For every graph G , $T(G) = \det Q_{11}$.

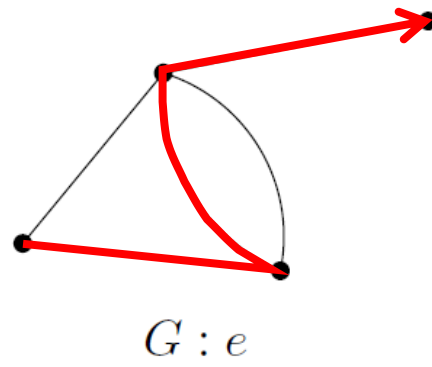
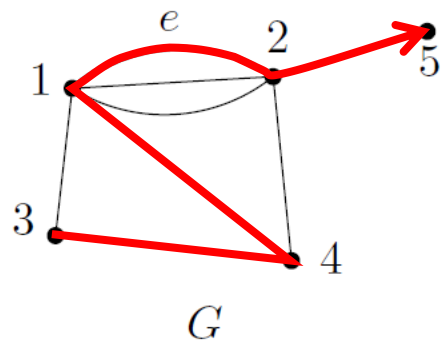
- Proof. (By induction) We show that the theorem holds for multigraphs (i.e., for graphs with multiple edges, no self-loops).
 - For an edge
 - ① $G - e$ Graph $(V, E \setminus \{e\})$
 - ② $G : e$ contraction
 - I. Remove the edge e
 - II. Merge the endpoints of e
 - III. Remove self-loops



Theorem. For every graph G , $T(G) = \det Q_{11}$.

- Proof. For an edge

② $G : e$



$$T(G) = T(G - e) + T(G : e)$$

Theorem. For every graph G , $T(G) = \det Q_{11}$.

- Proof. For an edge $e \in G$

$$T(G) = T(\textcolor{red}{G} - e) + T(\textcolor{blue}{G}:e)$$

$$e = \{1,2\}$$

Q' : the Laplacian of $\textcolor{red}{G} - e$

Q'' : the Laplacian of $\textcolor{blue}{G}:e$

$Q'_{11} = Q_{11}$ except the element in the upper left corner minus 1.

$Q''_{11} = Q_{11,22}$.

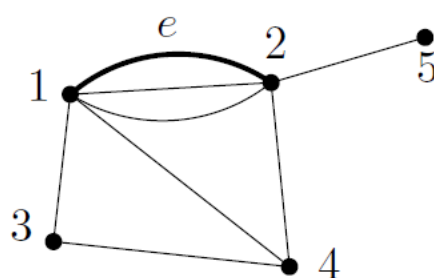
Theorem. For every graph G , $T(G) = \det Q_{11}$.

- Proof. For an edge $e \in G$

$$T(G) = T(G - e) + T(G : e)$$

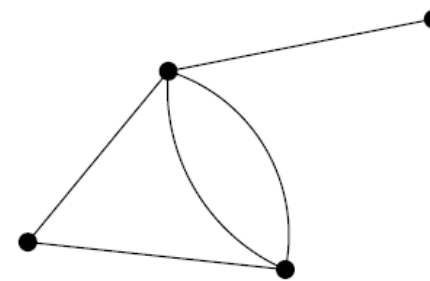
$$e = \{1,2\}$$

$$Q''_{11} = Q_{11,22}.$$



G

$$Q_{11} = \begin{pmatrix} 5 & 0 & -1 & -1 \\ 0 & 2 & -1 & 0 \\ -1 & -1 & 3 & 0 \\ -1 & 0 & 0 & 1 \end{pmatrix}$$



$G : e$

$$Q''_{11} = \begin{pmatrix} 2 & -1 & 0 \\ -1 & 3 & 0 \\ 0 & 0 & 1 \end{pmatrix}$$

Theorem. For every graph G , $T(G) = \det Q_{11}$.

- Proof. By induction on m that the results holds for every multigraph G with at most m edges.
- Base: $m = 0$ works.
- Vertex 1 is incident to at least one edge. Fix one of them and call it e . Numbering the other end of e to be 2. By induction

$$\begin{aligned} T(G) &= T(\textcolor{red}{G - e}) + T(\textcolor{blue}{G: e}) \\ &= \det Q'_{11} + \det Q''_{11} \\ &= \det Q'_{11} + \det Q_{11,22} \\ &= \det Q_{11} \end{aligned}$$